

Simulated Annealing (Recozimento Simulado)

UFMG

10/11/2025

Sumário

1 Simulação de Recozimento

- Introdução
- Processo de Recozimento
- Aplicabilidade
- Vantagens e Desvantagens
- Teoria
- Algoritmo Geral de Recozimento Simulado

2 Implementação

3 Resultados

4 Estudo Monte Carlo

- Código
- Resultado

5 Referências Bibliográficas

Recozimento Simulado - Introdução

Também chamado de método meta-heurístico, este tem como intuito resolver problemas de otimização de grande complexidade. Este algoritmo foi introduzido por volta de 1980 por três pesquisadores, sendo eles: Kirkpatrick, Gelatt e Vecchi. O método traz soluções sub-ótimas, ou seja, eficientes e sem grande esforço computacional.

Tem como objetivo encontrar resultados satisfatórios, ainda que não exatos, sendo que muitas vezes estes resultados são inviáveis e/ou difíceis de serem alcançados.

Se enquadra na classe *Markov chain Monte Carlo* (MCMC) e, por ter caráter estocástico alinhado à sua capacidade de escapar de mínimos locais, este é um ótimo candidato para resolução de problemas complexos de otimização.

Processo de Recozimento

O conceito foi introduzido da ideia de recozimento, onde um sólido é levado para um estado de baixa energia após aumentar sua temperatura.

O processo consiste em duas etapas, sendo elas:

- "Derretimento" da sua estrutura ao levá-lo a uma temperatura muito elevada.
- Resfriamento esquematizado buscando atingir um estado sólido de energia mínima.

Uma vez em estado líquido as partículas do material exposto são distribuídas de forma aleatória.

O estado mínimo de energia só é alcançado com uma temperatura inicial que seja suficientemente alta e um tempo de resfriamento que seja logo o suficiente.

Aplicabilidade

O algoritmo **Simulated Annealing** tem aplicabilidade em várias áreas e aqui serão expostas algumas delas:

- Engenharia de software
- *Machine Learning*
- Teoria de filas
- Processos de manufatura
- logística e transporte com otimização

Vantagens e Desvantagens

Vantagens

- Pode lidar com modelos não lineares complexos, dados caóticos e desordenados, sendo uma técnica robusta no geral;
- É flexível para aproximar do ótimo global;
- O algoritmo é considerado versátil por não se prender às propriedades do modelo;
- O método é facilmente ajustado ("tunado"), ou seja, buscando melhorar seu desempenho.

Desvantagens

- Necessita de muitas escolhas (e parâmetros) para torná-lo um algoritmo real;
- O trabalho para adaptar(tailoring) e ajustar os parâmetros do algoritmo pode ser bastante delicado;
- A precisão dos números usados na implementação do SA pode ter um efeito significativo na qualidade do resultado do método;
- Não é um algoritmo simples e convencional a ser implementado.

Dist. Weibull Tri-Paramétrica

O estudo será centrado em estimar os parâmetros primeiramente de uma distribuição Weibull com a seguinte função densidade:

$$f(x) = \frac{\beta}{\eta} \left(\frac{x-\gamma}{\eta} \right)^{\beta-1} e^{-\left(\frac{x-\gamma}{\eta}\right)^\beta}; \quad \beta > 0, \quad \eta > \gamma \geq 0. \quad (1)$$

Tenha ciência também que sua acumulada tem o seguinte resultado:

$$F(x) = 1 - e^{-\left(\frac{x-\gamma}{\eta}\right)^\beta},$$

sendo β , η , γ os parâmetros de forma, escala e locação, respectivamente.

A distribuição Weibull tri-paramétrica é raramente usada devido à dificuldade de se estimar estes parâmetros. Portanto, o uso de SA será feito para tentar estimar estes parâmetros. Aqui o algoritmo será fundamental para maximizar a função de verossimilhança.

Estimação por EMV

Temos ciência que a função de máxima verossimilhança é descrita da seguinte forma:

$$L(x) = \prod_{i=1}^n f_{x_i}(x_i; \theta)$$

Com isso, a log-verossimilhança é a seguinte:

$$\ln(L(x_1, \dots, x_n, \beta, \eta, \gamma)) = n \ln\left(\frac{\beta}{\eta}\right) + \sum_{i=1}^n \left(-\left(\frac{x_i - \gamma}{\eta}\right)^\beta + (\beta - 1) \ln\left(\frac{x_i - \gamma}{\eta}\right) \right). \quad (2)$$

Para encontrar as estimativas dos parâmetros devemos realizar as derivadas parciais e igualar a zero, da seguinte forma:

$$\frac{\partial}{\partial \theta} \ln(L(x)) = 0$$

Fica evidente que esta é uma função bem difícil de derivar, necessitando derivar gradiente ou mesmo aplicar métodos numéricos, portanto prosseguiremos para a ideia geral do algoritmo SA

Algoritmo

A principal vantagem deste método perante os demais é fato de que este, ao se empregar uma busca aleatória, **não se prende a pontos de mínimos locais**. O algoritmo aceita mudanças que aceitam a diminuição e também o aumento da função objetivo f . O seu aumento é aceito com probabilidade: $p = e^{-\frac{\Delta}{T}}$ sendo θ o aumento e T o parâmetro de controle, analogamente conhecido como temperatura do sistema. A sua implementação é simples:

- Uma representação de soluções possíveis,
- Um gerador de mudanças aleatórias nas soluções,
- Um meio de avaliar as funções do problema, e
- Um esquema de resfriamento (annealing schedule) – uma temperatura inicial e regras para diminuí-la à medida que a busca progride.

Por ser um algoritmo meta-heurístico, urge a importância de o mesmo ter a possibilidade de aceitar uma solução pior, evitando que o algoritmo caia em um máximo local e permaneça por lá. Claramente a probabilidade de aceitar uma pior solução diminui na mesma medida que a temperatura cai em cada um dos outros ciclos. A performance do algoritmo portanto é definida dentro de parâmetros de controle, sendo eles:

- A temperatura inicial (T_0) deve ser grande o suficiente para que na primeira iteração do algoritmo, a probabilidade de aceitação de um cenário ruim seja, pelo menos 80%;
- É utilizada a função de redução, sendo esta geométrica compreendida por:
 $T_i = CT_{i-1}$, onde $C < 1$, constante e se encontra usualmente entre 0.75 e 0.95;
- O tamanho de cada nível de temperatura determina o número de soluções geradas em uma certa temperatura T;
- O critério de parada define quando o sistema encontrou o nível de energia desejado. Em suma, isso define:
 - O total de números de soluções geradas.
 - A temperatura a cada nível de energia desejado.
 - A razão de aceitação (entre o número de soluções aceitadas e geradas).

Algoritmo SA para Maximização da Verossimilhança

Estimativa de β, η, γ

Passo	Ação / Descrição
1	Obter Amostra aleatória (tamanho grande o suficiente).
2	Determinar Parâmetros de Controle (T_0, T_f, C, I).
3	Gerar Solução Inicial aleatória (a, b, c).
4	Computar Verossimilhança Inicial (L) na solução (a, b, c). Loop Externo (Resfriamento)
5	Enquanto $T > T_f$: $T \leftarrow CT$
Loop Interno (Equilíbrio)	
6	Para $i = 1$ a I :
6.1	Gerar Vizinho: Gerar a_1, b_1, c_1 vizinhos de a, b, c .
6.2	Calcular Verossimilhança Vizinha (L_0) em (a_1, b_1, c_1) .
6.3	Avaliar Parâmetros (Critério de Metropolis):
6.3.1	Se $L_0 > L$ (Melhora): $a \leftarrow a_1, b \leftarrow b_1, c \leftarrow c_1, \text{ e } L \leftarrow L_0$
6.3.2	Senão (Piora): Gerar $u \sim \text{Uni}(0, 1)$.

6.3.2.1

Se $u < e^{\frac{(L_0 - L)}{\tau}}$ (Aceitação Probabilística):

$$a \leftarrow a_1, b \leftarrow b_1, c \leftarrow c_1$$

(Fim do Loop Interno)

(Fim do Loop Externo)

7

Resultado: Imprimir a, b, c e L .

Nota: a, b, c são estimativas de β, η, γ . F é uma função de custo/energia (ex: $-\ln(L)$).

Código implementado

```
loglik_weibull3 <- function(params, x) {  
  b <- params[1] # beta (forma)  
  g <- params[2] # eta (escala)  
  c <- params[3] # gamma (locação)  
  
  if (b <= 0 || g <= 0 || any(x <= c)) {  
    return(-Inf)  
  }  
  
  z <- (x - c) / g  
  # Fórmula Log-Verossimilhança  
  ll <- length(x) * (log(b) - log(g)) + sum((b - 1) * log(z) - (z^b))  
  return(ll)  
}
```

```
propose_neighbor <- function(curr, x, sds = c(0.1, 0.1, 0.1)) {  
  attempt <- 0  
  min_x <- min(x)  
  
  repeat {  
    attempt <- attempt + 1  
  
    b1 <- curr[1] + rnorm(1, mean = 0, sd = sds[1])  
    g1 <- curr[2] + rnorm(1, mean = 0, sd = sds[2])  
    c1 <- curr[3] + rnorm(1, mean = 0, sd = sds[3])  
  
    if (b1 <= 0) {  
      b1 <- abs(b1) + 1e-6  
    }  
    if (g1 <= 0) {  
      g1 <- abs(g1) + 1e-6  
    }  
  
    if (c1 < min_x - 1e-8) {  
      return(c(b1, g1, c1))  
    }  
  }  
}
```

```
if (attempt > 50) {  
    sds[3] <- sds[3] * 1.5  
}  
  
if (attempt > 1000) {  
    return(c(b1, g1, min_x - 1e-6))  
}  
}  
}  
  
# Algoritmo Simulated Annealing para Maximização  
sa_weibull3 <- function(  
    x,  
    init = NULL,  
    T0 = 100,  
    Tf = 0.001,  
    cooling_rate = 0.99,  
    L = 5,  
    sds = c(0.1, 0.1, 0.1)  
) {  
    n <- length(x)
```

```
if (is.null(init)) {  
  init <- c(1, sd(x), min(x) - 0.1)  
}  
  
curr <- init  
curr_ll <- loglik_weibull3(curr, x)  
best <- curr  
best_ll <- curr_ll  
T <- T0  
  
#  
while (curr_ll == -Inf) {  
  curr <- propose_neighbor(curr, x, sds = sds * 10)  
  curr_ll <- loglik_weibull3(curr, x)  
  best <- curr  
  best_ll <- curr_ll  
}  
  
history <- data.frame(eval = 1, ll = curr_ll)  
eval_count <- 1
```

```
# Loop SA
while (T > Tf) {
  for (i in 1:L) {
    prop <- propose_neighbor(curr, x, sds = sds)
    prop_ll <- loglik_weibull3(prop, x)

    if (prop_ll > curr_ll) {
      curr <- prop
      curr_ll <- prop_ll
    } else {
      delta_ll <- prop_ll - curr_ll

      if (runif(1) < exp(delta_ll / T)) {
        curr <- prop
        curr_ll <- prop_ll
      }
    }

    if (curr_ll > best_ll) {
      best <- curr
      best_ll <- curr_ll
    }
  }
}
```

```
    eval_count <- eval_count + 1
    history <- rbind(history, data.frame(eval = eval_count, ll = curr_ll)
  }
  T <- cooling_rate * T
}

return(list(
  best_params = best,
  best_ll = best_ll,
  history = history,
  evals = eval_count
))
}

# Função de geração SA
run_and_save_example <- function(example_num, real_params) {
  sample_sizes <- c(2500, 1000, 500, 100)
  T0_val <- 100
  Tf_val <- 0.001
  cooling_rate_val <- 0.99
  L_val <- 5

  results_table <- data.frame(
```

```
"N" = integer(),
"beta_est" = numeric(),
"eta_est" = numeric(),
"gamma_est" = numeric(),
"LL_real" = numeric(),
"LL_est" = numeric()
)

for (N in sample_sizes) {

  data_x <- rweibull(N, shape = real_params[1], scale = real_params[2])
  + real_params[3]

  ll_real <- loglik_weibull3(real_params, data_x)

  # Inicialização
  init_params <- c(1.5, sd(data_x), min(data_x) - 0.1)

  sa_result <- sa_weibull3(
    x = data_x,
    init = init_params,
    T0 = T0_val,
```

```
Tf = Tf_val,  
cooling_rate = cooling_rate_val,  
L = L_val  
)  
  
best_p <- sa_result$best_params  
best_ll <- sa_result$best_ll  
  
new_row <- data.frame(  
  "N" = N,  
  "beta_est" = best_p[1],  
  "eta_est" = best_p[2],  
  "gamma_est" = best_p[3],  
  "LL_real" = ll_real,  
  "LL_est" = best_ll,  
)  
results_table <- rbind(results_table, new_row) # {...}  
})
```

Resultados da Estimação por Recozimento Simulado

Weibull ($\beta = 2$, $\eta = 2$, $\gamma = 2$)

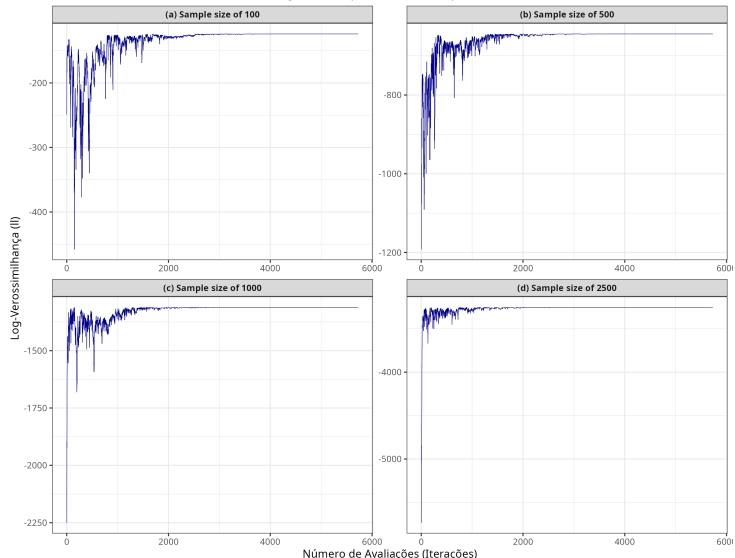
Weibull parameters	(2, 2, 2)			
Measure	2500	1000	500	100
Estimated parameters (β , η , γ)	(1.9991, 2.0158, 2.0138)	(1.9777, 2.0351, 1.9797)	(2.1459, 2.0908, 1.9071)	(2.3615, 2.1445, 1.8567)
Likelihood function at the real values	-3254.7346	-1311.5570	-646.9332	-125.4270
Likelihood function at the estimated value	-3252.9872	-1311.0612	-644.8159	-124.0860
Run time (s)	4.7858	2.9836	2.3574	2.1606

Table: Tabela de Resultados para o Exemplo 1: Weibull (2, 2, 2) via Simulated Annealing

Resultados da Estimação por Recozimento Simulado

Weibull ($\beta = 2$, $\eta = 2$, $\gamma = 2$)

Convergência SA para MLE (Exemplo 1: (2, 2, 2))



Resultados da Estimação por Recozimento Simulado

Weibull ($\beta = 3$, $\eta = 5$, $\gamma = 7$)

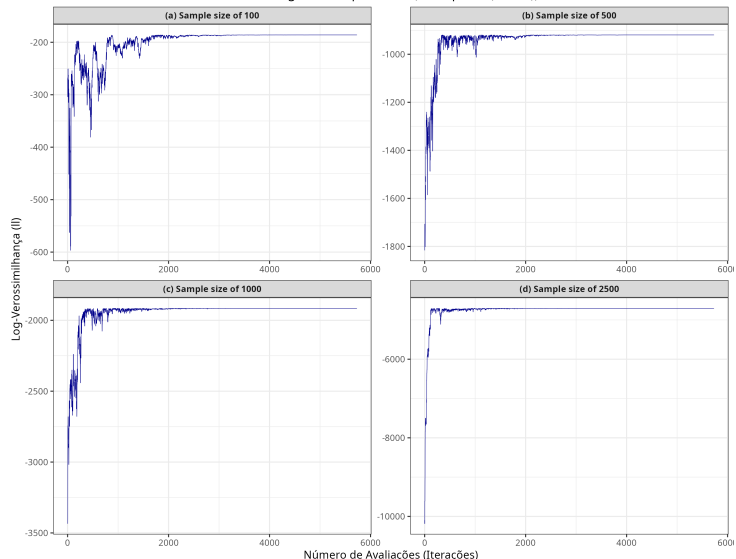
Weibull parameters	(3, 5, 7)			
Measure	2500	1000	500	100
Estimated parameters (β , η , γ)	(2.9692, 4.8821, 7.0640)	(2.6933, 4.6690, 7.2710)	(2.8394, 4.5196, 7.3546)	(2.1266, 3.6834, 8.1256)
Likelihood function at the real values	-4705.6693	-1917.4969	-922.3498	-188.0940
Likelihood function at the estimated value	-4704.4097	-1915.2503	-919.5619	-185.9989
Run time (s)	3.5846	2.8512	3.0746	2.8736

Table: Tabela de Resultados para o Exemplo 2: Weibull (3, 5, 7) via Simulated Annealing

Resultados da Estimação por Recozimento Simulado

Weibull ($\beta = 3$, $\eta = 5$, $\gamma = 7$)

Convergência SA para MLE (Exemplo 2: (3, 5, 7))



Resultados da Estimação por Recozimento Simulado

Weibull ($\beta = 8$, $\eta = 4$, $\gamma = 6$)

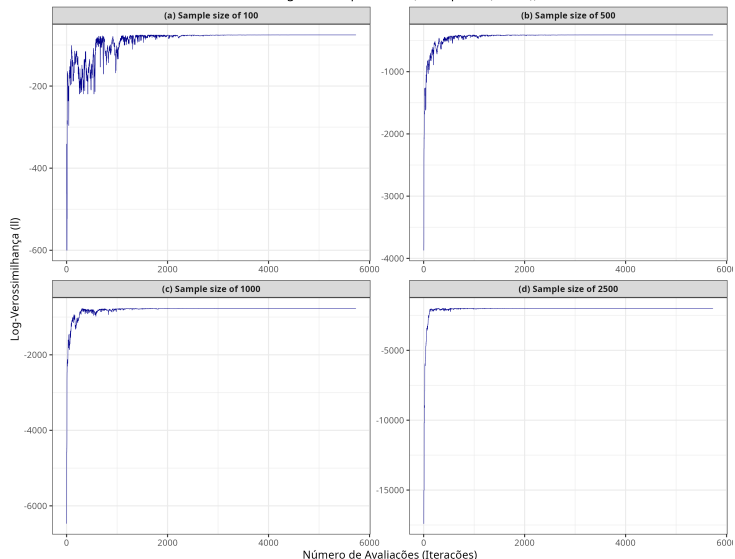
Weibull parameters	(8, 4, 6)			
Measure	2500	1000	500	100
Estimated parameters (β , η , γ)	(7.5211, 3.7231, 6.2683)	(8.5488, 4.0806, 5.9406)	(7.6652, 3.8755, 6.1333)	(4.3496, 2.1853, 7.8769)
Likelihood function at the real values	-1993.8436	-770.9186	-409.9350	-78.5454
Likelihood function at the estimated value	-1992.6522	-768.5618	-409.7919	-75.4730
Run time (s)	3.6161	3.0264	2.5860	2.3906

Table: Tabela de Resultados para o Exemplo 3: Weibull (8, 4, 6) via Simulated Annealing

Resultados da Estimação por Recozimento Simulado

Weibull ($\beta = 8$, $\eta = 4$, $\gamma = 6$)

Convergência SA para MLE (Exemplo 3: (8, 4, 6))



Estudo Monte Carlo

Visando compreender a robustez do modelo, será feito um estudo Monte Carlo, baseando-se na computação da média amostral para um número m de réplicas suficientemente grande da distribuição em questão.

Para uma função monótona $g(\mathbf{X})$, com $\mathbf{X} = (X_1, \dots, X_n)$ representando os elementos amostrais, seja

$$\mathbf{X}^{(j)} = \{X_1^{(j)}, X_2^{(j)}, \dots, X_n^{(j)}\}, \quad j = 1, \dots, m.$$

Sendo $X_i^{(j)}$, $i = 1, \dots, n$, vetores de v.a. i.i.d de \mathbf{X} .

Computamos as respectivas réplicas por:

$$Y_j = g(\mathbf{X}_1^{(j)}, \dots, \mathbf{X}_n^{(j)}).$$

Então Y_1, \dots, Y_m são independentes e identicamente distribuídas de $Y = g(\mathbf{X})$.

Considere, portanto:

$$\bar{Y} = \frac{1}{m} \sum_{j=1}^m Y_j$$

```
run_example <- function(real_params) {  
  sample_sizes <- 2500  
  T0_val <- 100  
  Tf_val <- 0.001  
  cooling_rate_val <- 0.99  
  L_val <- 5  
  
  results_table <- data.frame(  
    "N" = integer(),  
    "beta_est" = numeric(),  
    "eta_est" = numeric(),  
    "gamma_est" = numeric(),  
    "LL_real" = numeric(),  
    "LL_est" = numeric()  
)  
  
  for (N in sample_sizes) {  
    data_x <- rweibull(N, shape = real_params[1], scale = real_params[2])  
    + real_params[3]  
  
    ll_real <- loglik_weibull3(real_params, data_x)  
    init_params <- c(1.5, sd(data_x), min(data_x) - 0.5) 
```

```
sa_result <- sa_weibull3(
  x = data_x,
  init = init_params,
  T0 = T0_val,
  Tf = Tf_val,
  cooling_rate = cooling_rate_val,
  L = L_val
)
best_p <- sa_result$best_params
best_ll <- sa_result$best_ll

new_row <- data.frame(
  "N" = N,
  "beta_est" = best_p[1],
  "eta_est" = best_p[2],
  "gamma_est" = best_p[3],
  "LL_real" = ll_real,
  "LL_est" = best_ll,
  "Time_s" = run_time
)
results_table <- rbind(results_table, new_row)
return(results_table)
```

```
})
```

```
estudo_mc <- function(n = 2500, real_params, m = 500) {  
  beta_est <- numeric(m)  
  eta_est <- numeric(m)  
  gamma_est <- numeric(m)  
  
  for(i in 1:m){  
    est <- run_example(real_params)  
  
    beta_est[i] <- tail(est$beta, 1)  
    eta_est[i] <- tail(est$eta, 1)  
    gamma_est[i] <- tail(est$gamma, 1)  
  }  
  
  return(data.frame(beta_est, eta_est, gamma_est))  
}  
av1 <- estudo_mc(real_params = c(2,2,2))  
av2 <- estudo_mc(real_params = c(3,5,7))  
av3 <- estudo_mc(real_params = c(8,4,6))
```

Resultados da Estimação por SA - MC

Avaliação dos Estimadores - Método de Monte Carlo

β Verdadeiro	β Médio	β DP	η Verdadeiro	η Médio	η DP	γ Verdadeiro	γ Médio	γ DP
2	1.9997	0.0426	2	1.9908	0.0268	2	2.0075	0.0158
3	3.0038	0.1035	5	5.0028	0.1293	7	7.0001	0.1155
8	7.8918	0.6235	4	3.9459	0.3046	6	6.0540	0.3015

Resultados da Estimação por SA - MC

Weibull ($\beta = 2$, $\eta = 2$, $\gamma = 2$)

Tamanho da Amostra	Parâmetro	Valor Real	Estimativa Média	Desvio Padrão	Viés Relativo
50	β	2	1.967	0.472	-1.648
50	η	2	1.908	0.334	-4.580
50	γ	2	2.074	0.257	3.684
100	β	2	1.955	0.266	-2.274
100	η	2	1.929	0.193	-3.531
100	γ	2	2.058	0.140	2.890
500	β	2	1.982	0.098	-0.883
500	η	2	1.979	0.073	-1.040
500	γ	2	2.017	0.047	0.859
1000	β	2	1.986	0.067	-0.682
1000	η	2	1.986	0.050	-0.722
1000	γ	2	2.011	0.031	0.552

Table: Tabela de Estimações via SA - Weibull(2,2,2)

Resultados da Estimação por Optim - MC

Weibull ($\beta = 2$, $\eta = 2$, $\gamma = 2$)

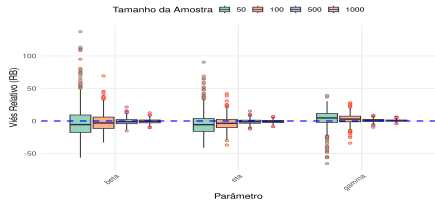
Tamanho da Amostra	Parâmetro	Valor Real	Estimativa Média	Desvio Padrão	Viés Relativo
50	β	2	1.961	0.451	-1.965
50	η	2	1.904	0.320	-4.812
50	γ	2	2.078	0.241	3.892
100	β	2	1.954	0.265	-2.297
100	η	2	1.929	0.193	-3.568
100	γ	2	2.058	0.140	2.915
500	β	2	1.981	0.098	-0.928
500	η	2	1.978	0.073	-1.077
500	γ	2	2.018	0.047	0.887
1000	β	2	1.986	0.066	-0.678
1000	η	2	1.986	0.049	-0.720
1000	γ	2	2.011	0.030	0.560

Table: Tabela de Estimações via Optim - Weibull(2,2,2)

Gráficos

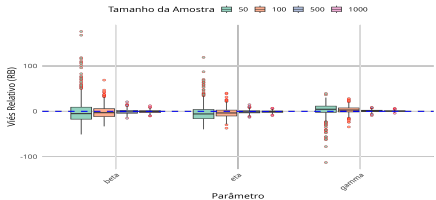
Distribuição do Viés Relativo (RB) por Parâmetro

Usando optim para estimar os parâmetros



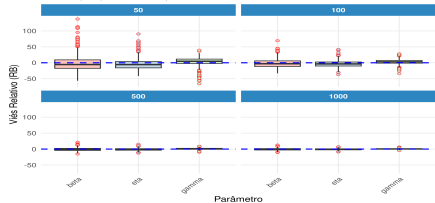
Distribuição do Viés Relativo (RB) por Parâmetro

Usando SA para estimar os parâmetros



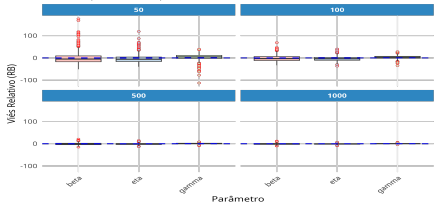
Viés Relativo (RB) por Parâmetro e Tamanho da Amostra

Usando optim para estimar os parâmetros



Viés Relativo (RB) por Parâmetro e Tamanho da Amostra

Usando SA para estimar os parâmetros



Referências

- ABBasi, B.; Eshraqi Jahromi, A. H.; ARKAT, J.; Hosseinkouchack, M. **Estimating the parameters of Weibull distribution using simulated annealing algorithm.** Applied Mathematics and Computation, v. 183, p. 85-93, 2006.
- ALBERT, C.; KÜNSCH, H. R.; SCHEIDECKER, A. **A simulated annealing approach to approximate Bayes computations.** Stat Comput, v. 25, n. 6, p. 1217–1232, 2015.
- LEIJOTO, H. D. **Avaliação de Mecanismo Probabilístico de Cooling Schedule para o Algoritmo Simulated Annealing.** Monografia de Graduação, Departamento de Estatística, Universidade Federal de Ouro Preto (UFOP), 2024.
- LUNA, A. H. **Introdução aos Métodos de Monte Carlo Avançados.** Relatório Técnico RTE_01_2019, Departamento de Estatística-UFMG.
- Lee, Sangmin e Seoung Bum Kim: **Parallel simulated annealing with a greedy algorithm for Bayesian network structure learning.** IEEE Transactions on Knowledge and Data Engineering, 2019.
- Shen, Yadi, Yingchao Dong, Xiaoxia Han, Jinde Wu, Kun Xue, Meizhu Jin, GangXie e Xinying Xu: **Prediction model for methanation reaction conditions based on a state transition simulated annealing algorithm optimized extreme learning machine.** International Journal of Hydrogen Energy.
- Spinellis, D, C Papadopoulos e J M Smith: **Large production line optimization using simulated annealing.** International Journal of Production Research, 2000.